

Д-89

ОБЪЕДИНЕННЫЙ
ИНСТИТУТ
ЯДЕРНЫХ
ИССЛЕДОВАНИЙ
ДУБНА



842/2-73

5/ш-2

P2 - 6891

О.В.Думбрайс , Х.М.Чернев

АНАЛИТИЧНОСТЬ И ПАРАМЕТР НАКЛОНА
ДИФФЕРЕНЦИАЛЬНОГО СЕЧЕНИЯ
УПРУГОГО pp-РАССЕЯНИЯ

1973

ЛАБОРАТОРИЯ ЯДЕРНЫХ ПРОБЛЕМ

P2 - 6891

О.В.Думбрайс*, Х.М.Чернев

АНАЛИТИЧНОСТЬ И ПАРАМЕТР НАКЛОНА
ДИФФЕРЕНЦИАЛЬНОГО СЕЧЕНИЯ
УПРУГОГО pp-РАССЕЯНИЯ

Направлено в Physics Letters

* НИИЯФ МГУ

Объединенный институт
ядерных исследований
БИБЛИОТЕКА

Думбрайс О.В., Чернев Х.М.

P2 - 6891

Аналитичность и параметр наклона дифференциального сечения
упругого pp -рассеяния

При помощи модельно-независимого метода анализа экспериментальных данных изучается параметр наклона дифференциального сечения упругого pp -рассеяния. Метод основан на использовании известных аналитических свойств амплитуды рассеяния и экспериментальных данных в ограниченном интервале углов. Анализ показывает, что параметр наклона не может быть постоянной величиной, а в области малых $|t|$ должен непрерывно убывать с ростом $|t|$.

Препринт Объединенного института ядерных исследований.

Дубна, 1973

Dumbrajs O.V., Chernev Kh.M.

P2 - 6891

Analyticity and the Diffraction Slope
of the pp - Elastic Scattering

A model-independent method of analysing experimental data on the pp - scattering is used to investigate the slope parameter of the diffraction peak in elastic scattering. The method exploits the known analyticity properties of the scattering amplitude and experimental data in a limited angular range. The analysis suggests that the diffraction slope continuously increases with decreasing $|t|$ in the very forward direction.

Preprint. Joint Institute for Nuclear Research.
Dubna, 1973

Хорошо известно, что обычная параметризация высокознергетического дифференциального сечения задается формулой

$$\frac{d\sigma}{dt} = A e^{bt},$$

/1/

которая, по существу, в пределе малых углов является следствием дифракционного характера рассеяния. Исследованию зависимости параметра наклона b от величин s и t в последние годы посвящен ряд работ /см., например, /¹⁻⁶/ как экспериментальных, так и теоретических. Заключение, которое обычно делается относительно зависимости от t , состоит в том, что имеется несколько интервалов t , где параметр наклона меняется. Это означает, что дифракционный пик нельзя описать одной экспонентой /1/. С теоретической точки зрения формула /1/ основывается на модели, на предположении о том, что рассеяние носит ярко выраженный дифракционный характер. При этом, однако, игнорируется более глубокое предположение о том, что дифференциальное сечение является аналитической функцией от t . Поскольку аналитические свойства связаны с характером сил, ответственных за рассеяние адронов, то формула, удовлетворяющая требованиям аналитичности, должна лучше описать экспериментальные данные /^{7,8}/ . Недавно были предприняты попытки учесть влияние структуры близколежащих /см. подпись под рис. 1/ разрезов на рассеяние протонов при малых углах. В этих работах структура разрезов учитывалась либо путем введения переменной "продольная масса" /⁹/, либо при помощи предположения о специальном "полюсообразном" поведении амплитуды вблизи точки ветвления 2 π -порога /¹⁰/.

В настоящей работе сделана попытка, с одной стороны, полностью использовать аналитические свойства амплитуды рассеяния и, с другой стороны, избежать модельно-зависимые построения работ /9,10/.

Аналитическая структура дифференциального сечения pp -рассеяния в $x \equiv \cos \theta$ - плоскости представлена на рис. 1. При помощи выражения

$$z = \frac{1}{\pi^2} \left[\ln \frac{\sqrt{1+u} + \sqrt{u}}{\sqrt{1+u} - \sqrt{u}} \right]^2, \quad /2/$$

где $u = (1-x^2)/(x_{\pi}^2 - 1)$, $x = 1+t/2k^2$, $x_{\pi} = 1+m_{\pi}^2/2k^2$, k - импульс протона в с.ц.м., x - плоскость отображается на параболу в z -плоскости. В частности, полюса при $x=x_{\pi}$ отображаются в точку $z = -1$, а разрезы - на параболу. Физическая область $0 \leq x \leq 1$ переходит в интервал $0 \leq z \leq z_{\infty}$, z_{∞} стремится к бесконечности с возрастанием энергии. Структура z -плоскости показана на рис. 2. Этот вид конформного отображения, во-первых, эффективно увеличивает область аналитичности, где доступны экспериментальные данные, и, во-вторых, отодвигает разрезы и полюса максимально далеко от физической области.

Теперь дифференциальное сечение может рассматриваться как аналитическая функция в z -плоскости и как не имеющая особенностей внутри параболы может быть там разложена в ряд по полиномам Лагерра $L_n(z)$ /11/.

$$\frac{d\sigma}{dt} = \sum_{n=0}^N a_n L_n(z). \quad /3/$$

Тогда, приравнивая выражение /1/ и /3/, можно записать

$$b = \frac{1}{t} \ln \frac{\sum_{n=0}^N a_n L_n(z)}{\sum_{n=0}^N a_n}. \quad /4/$$

Мы подгоняли формулу /3/ к экспериментальным данным при различных энергиях *: 5,52 Гэв/с /12/, 6,92 Гэв/с /13/, 8,10 Гэв/с /14/, 12,40 Гэв/с /15/, 18,40 Гэв/с /15/, ограничивая интервал значений переданного импульса так, чтобы оставаться вне области кулоновской интерференции, но не выходить за пределы дифракционного пика: $0,05/\text{Гэв}/\text{с}^2 \leq |t| \leq 0,6/\text{Гэв}/\text{с}^2$. При всех энергиях оказалось достаточным взять три члена

* Выбор этих экспериментальных данных среди всех имеющихся ничем не обусловлен.

в разложении /3/ для того, чтобы получить хорошую подгонку. Дальше коэффициенты a_0, \dots, a_N , найденные из подгонки, подставлялись в /4/ и находилась функциональная зависимость $b(t)$. Во всех случаях оказалось, что в области малых $|t|$ параметр наклона непрерывно убывает с ростом $|t|$, что находится в согласии с заключением работы /10/. На рис. 3 приведен пример зависимости b от t для pp -рассеяния при 6,92 Гэв/с. Видно, что эта зависимость слаба для больших $|t|$, но становится значительной при малых $|t|$. При этом b достигает значения $\approx 18/\text{Гэв}/\text{с}^{-2}$ при $t=0$ / $A = 107 \text{ мбн}/\text{Гэв}/\text{с}^2$ / вместо постоянного значения $b = 8/\text{Гэв}/\text{с}^{-2}$ / $A = 83 \text{ мбн}/\text{Гэв}/\text{с}^2$ / в случае подгонки согласно формуле /1/. Похожие значения b и A получаются при других энергиях, значение A увеличивается в среднем на 20% по сравнению с подгонками согласно /1/.

В заключение можно сказать, что аналитические свойства амплитуды рассеяния и экспериментальные данные сами по себе, без привлечения каких-либо моделей, указывают на то, что параметр наклона не может быть постоянной величиной, а в области малых $|t|$ должен непрерывно убывать с ростом $|t|$. Поэтому мы рекомендуем во всех процедурах экстраполяций пользоваться формулой типа /3/ вместо обычно принятой формулы /1/, которая может привести к неверным результатам.

Было бы интересно исследовать похожим способом область кулоновской интерференции, а также другие упругие процессы.

Один из авторов /О.В.Д./ выражает глубокую благодарность А.В.Ефремову, Н.Зовко, Л.И.Лапидусу, В.И.Огневецкому и М.Г.Шафрановой за обсуждения и критические замечания.

Мы благодарны также Ф.Никитину за помощь в работе.

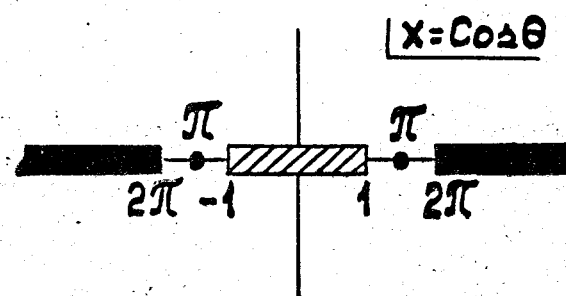


Рис. 1. Аналитическая структура дифференциального сечения pp -рассеяния в $x \equiv \cos \theta$ - плоскости. На рисунке масштаб не соблюден. Например, при $p = 10 \text{ Гэв}/\text{с}$ $x \approx 1,002$, $x_{2\pi} \approx 1,009$.

Литература

1. R.A.Carrigan. Phys.Rev.Lett., 24, 168 (1970).
2. Х.М. Чернеев. ЯФ.
3. M. Holder et al. Phys.Lett., 36B, 400 (1971).
4. U.Amaldi et al. Phys.Lett., 36B, 504 (1971).
5. В.И.Саврин, С.В.Семенов, Н.Е.Тюрин, О.А.Хрусталев. ЯФ, 16, 384 /1972/.
6. В.Р.Гарсеванишвили, В.А.Матвеев, Л.А.Слепченко. ЭЧАЯ 1, 91 /1970/.
7. R.E.Cutkosky, B.B.Deo. Phys.Rev., 174, 1859 (1968).
8. B.B.Deo, M.K.Parida. Phys.Rev.Lett., 26, 1609 (1971).
9. S.Barshay, Y.A.Chao. Phys.Lett., 38B, 225 (1972).
10. S.Barshay, Y.A.Chao. Phys.Rev.Lett., 29, 753 (1972).
11. Г.Бейтмен, А.Эрдейн. Высшие трансцендентные функции. Том II, "Наука", 1966.
12. G.Alexander et al. Phys.Rev., 154, 1284 (1967).
13. G.Alexander et al. Phys.Rev., 173, 1322 (1968).
14. I.Ginestet et al. Nucl.Phys., B13, 283 (1969).
15. D.Harting et al. Nuovo Cim., 38, 60 (1965).

Рукопись поступила в издательский отдел
15 января 1973 года.

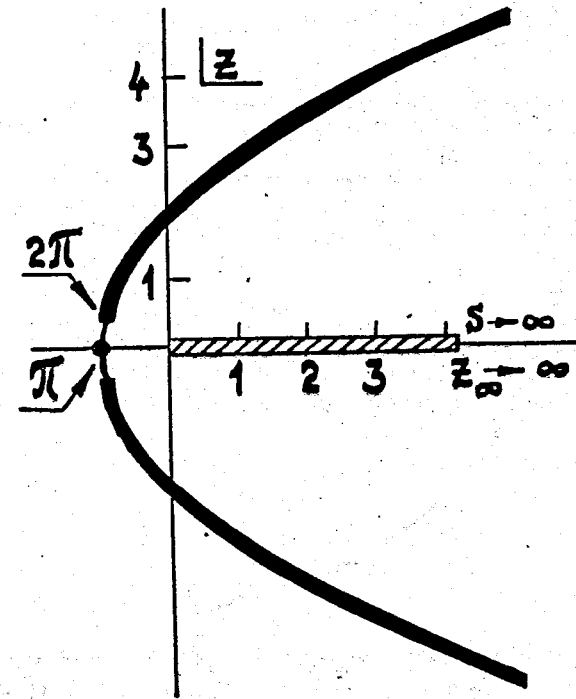


Рис. 2. Аналитическая структура дифференциального сечения
р-р' рассеяния в z -плоскости.

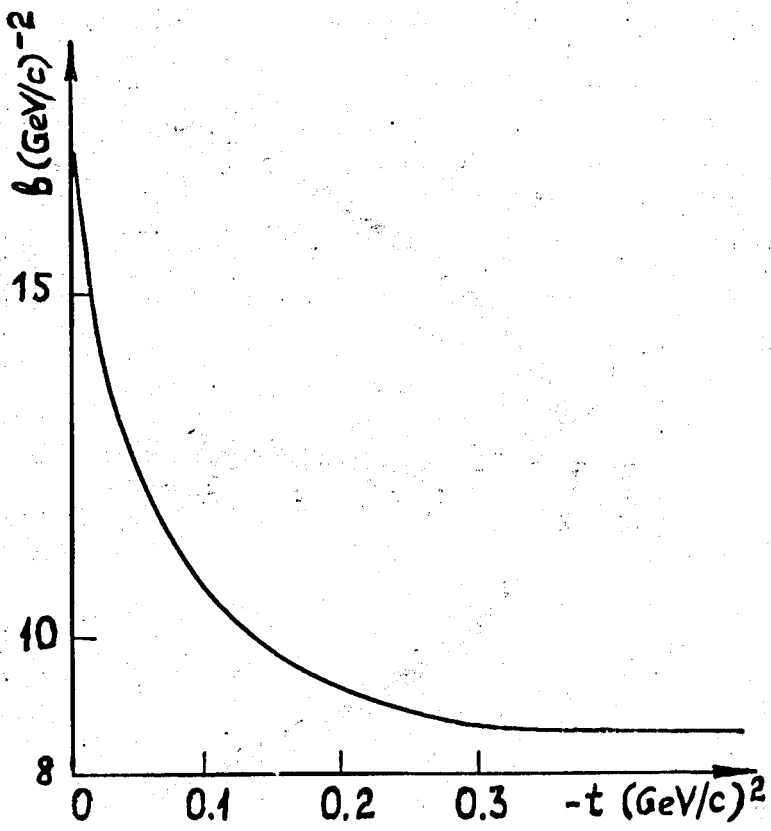


Рис. 3. Зависимость параметра наклона от переданного импульса при $p = 6,92 \text{ Гэв/с}.$